

بررسی الگوی بیان ژن متیل چاویکول O-متیل ترانسفراز (CVOMTs)، تعیین توالی و مشخصه یابی پروموتر ژن CVOMTs در گیاه ریحان تحت تنش خشکی

Study of gene expression pattern of chavicol O-methyl transferase gene (CVOMTs), sequencing and characterization of promoter of CVOMTs gene of basil (*Ocimum basilicum*) under water deficit stress

فاطمه خاکدان^۱، فرج اله شهریاری احمدی^{۱*}، مجتبی رنجبر^۲، عبدالرضا باقری^۱، هوشنگ علیزاده^۳

۱- بهترتب دانشجوی دکتری، استادان، گروه بیوتکنولوژی، دانشکده کشاورزی، دانشگاه فردوسی مشهد، مشهد

۲- استادیار، گروه بیوتکنولوژی میکروبی، دانشکده زیست فناوری، دانشگاه تخصصی فناوری های نوین آمل، آمل

۳- استادیار، گروه زراعت و اصلاح نباتات، پردیس کشاورزی و منابع طبیعی، دانشگاه تهران، کرج

Khakdan F¹, Shahriari Ahmadi F^{*1}, Ranjbar M², Bagheri A¹, Alizadeh H³

1-PhD student, Professors, Department of Biotechnology, College of Agriculture, Ferdowsi University of Mashhad, Mashhad, Iran

2- Assistant Professor, Department of Microbial Biotechnology, College of Biotechnology, Amol University of Special Modern Technologies, Amol, Iran

3- Assistant Professor, Department of Agronomy and Plant Breeding, College of Agriculture and Natural Resources, Tehran University, Karaj, Iran

* نویسنده مسئول مکاتبات، پست الکترونیکی: shahriari@um.ac.ir

(تاریخ دریافت: ۹۵/۴/۲۱ – تاریخ پذیرش: ۹۵/۶/۲۸)

چکیده

ریحان (Ocimum basilicum L.) گیاهی از خانواده نعناعیان است که به عنوان یک گیاه دارویی در طب سنتی ایران مورد استفاده قرار می‌گیرد. انسان ریحان منبع غنی از ترکیبات ترپنوفیدی و فنیل پروپانوفیدی است و در درمان بیماری‌هایی مانند اسهال، سرفه، انگل‌های روده و ناراحتی‌های کلیه و کبد مورد اهمیت می‌باشد. ترکیب با ارزش متیل چاویکول حجم عده انسان ریحان را تشکیل می‌دهد که اخیراً توجه زیادی به علت ارزش دارویی و فعالیت‌های فارماکولوژیکی خصوصاً به عنوان پیشگیری کننده میگرن به خود جلب نموده است. آنزیم متیل چاویکول O-متیل ترانسفراز (CVOMTs) یک آنزیم کلیدی در مسیر بیوستر فنیل پروپانوفید است و با انجام عمل متیلاسیون، چاویکول را به متیل چاویکول تبدیل می‌کند. در تحقیق حاضر، برای بررسی تاثیر تنش خشکی بر شکل گیوی و کنترل تنظیم نسخه‌برداری مسیر بیوستر ترکیب متیل چاویکول در سه توده دارویی ریحان، پروفیل مقادیر S1:۲۵٪، S2:۵۰٪، S3:۲۵٪ ظرفیت زراعی با استفاده از واکنش زنجیره‌ای پلیمراز در زمان واقعی (qRT-PCR) اندازه‌گیری شد. به منظور ارتباط دقیق تر الگوی بیان ژن CVOMTs در شرایط تنش خشکی جداسازی، مشخصه یابی و تجزیه عملکردی پروموتر pCVOMTs نیز انجام گرفت. بررسی الگوی بیان ژن CVOMTs نشان داد که مقادیر نسخه‌های این ژن به طور معنی‌داری تحت تاثیر توده و سطوح تنش قرار دارد. سطح نسخه‌های ژن CVOMTs در شرایط تنش خشکی افزایش تدریجی نشان داد و در توده سه بیشترین میزان بیان این ژن در S₂ مشاهده شد. نتایج تجزیه پروموتر ژن CVOMTs نشان داد که این توالی شامل عناصر مهم تنظیمی پاسخ‌دهنده به دمای بالا و تنش خشکی از جمله MYB و HSE می‌باشد. بنابراین افزایش بیان این ژن در سطوح بالای تنش مربوط به جایگاه‌های اتصال فاکتورهای نسخه‌برداری است که در شرایط تنش خشکی موجب افزایش بیان این ژن می‌شود.

واژه‌های کلیدی

بیان ژن

پروموتر

تنش خشکی

ژن CVOMTs

عناصر تنظیمی

مقدمه

چاویکول از طریق مسیر سنتز فنیل پروپانوئید تولید می‌شود، فنیل پروپانوئیدها از اسید آمینه فنیل آلانین مشتق می‌شوند که ابتدا توسط آنزیم فنیل آلانین آمونیاکاز (PAL) و در اثر دامیناسیون به اسید ترانس سینامیک تبدیل می‌شود. سپس توسط سینامات ۴-هیدروکسیلاز، اسید *p*-کوماریک به وجود می‌آید. اسید *p*-کوماریک در طی مراحلی و توسط آنزیم چاویکول-O-متیل ترانسفراز (CVOMTs)⁴ به متیل چاویکول تبدیل می‌شود (شکل ۱). اگرچه متیل چاویکول یکی از مهم‌ترین ترکیباتی است که از طریق مسیر سنتز فنیل پروپانوئید سنتز می‌شود اما تا چند دهه اخیر اطلاعات کافی برای تعیین جزئیات مسیر و آنزیم‌های بیوسنتز آن در دسترس نبود. گیاهان در طول چرخه حیات در معرض بسیاری از تنش‌های محیطی قرار می‌گیرند، این تغییرات محیطی به دو صورت تنش‌های زیستی و غیر زیستی قابل تشخیص هستند. فاکتورهای غیرزیستی یا شرایط محیطی نامطلوب شامل دمای بسیار زیاد، نور، خشکی، شوری، آلودگی فلزات سنگین و انواع کمبود مواد غذایی می‌باشد، در این بین، تنش خشکی یکی از مهم‌ترین فاکتورهای غیرزیستی به شمار می‌آید و اثرات نامطلوب بر رشد، باروری و متابولیسم گیاهان دارد (Rejeb et al. 2014). با حضور انواع تنش‌های محیطی، گیاهان برای حفظ حیات خود از سیستم دفاعی پیچیده‌ای بهره می‌گیرند تا بدین‌وسیله بتوانند در پاسخ به سیگنال‌های تنش، سازگاری خود را تنظیم کنند (Sairam et al. ; Gill and Tuteja 2012; Ekren et al. 2002).

مطالعات گذشته نشان می‌دهد که مقدار متیل چاویکول تحت انواع تنش‌های غیرزیستی در ریحان افزایش می‌یابد که این افزایش با افزایش انسانس در شرایط تنش شدید خشکی همراه بوده است (Ekren et al. 2012; Khalid 2006). با توجه به اینکه در مسیر بیوسنتزی متیل چاویکول آنزیم نهایی و مسئول تکمیل این ترکیب شناخته شده است و نیز عدم اطلاع از نحوه تنظیم این ژن در شرایط تنش خشکی، در این تحقیق به بررسی نقش آنزیم چاویکول-O-متیل ترانسفراز در سطوح مختلف تنش خشکی از طریق بررسی میزان بیان ژن آنزیم مذکور پرداخته شد. نقش عناصر Cis-acting و فاکتورهای نسخه برداری

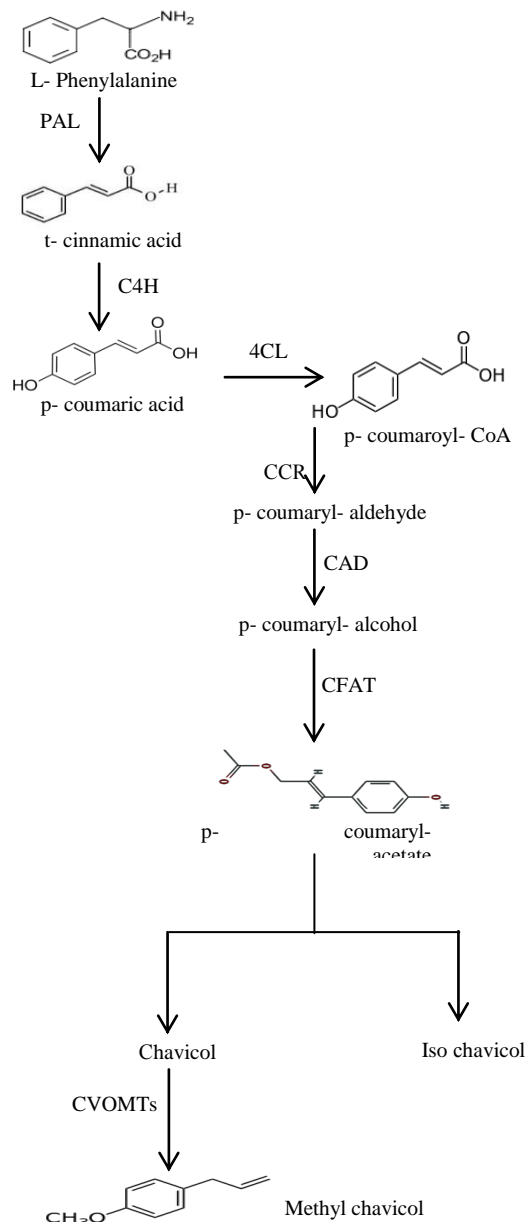
ریحان (*Ocimum basilicum* L.), گیاهی علفی، معطر و دارویی از خانواده نعناعیان است که به فراوانی در مناطق گرمسیری و نیمه گرمسیری آسیا، آفریقا، آمریکای مرکزی و جنوبی می‌روید (Javanmardi et al. 2002; Kothari et al. 2004) از عصاره این گیاه به طور وسیعی برای درمان بیماری‌های گوناگون مانند سردردهای عصبی، گلودرد، آسم سرماخوردگی، ورم کلیه و اسهال استفاده می‌شود. در علوم نوین آرومتریاپی از این گیاه به خاطر اثرات ضد تشنجی در تقویت عملکرد سلول‌های مغز و قلب استفاده می‌شود. همچنین ریحان به عنوان یک داروی تب‌بر، ضد مalarیا، تسکین دهنده درد، ضدافسردگی و نیز در ترکیب داروهای ضد رماتیسم در صنایع داروسازی مورد استفاده قرار می‌گیرد (Juliani and Simon 2002; Lee et al. 2005). محتویات گوناگون دارویی موجود در ریحان به خاطر تنوع وسیع ترکیبات عمده شامل فنیل پروپانوئیدها و ترپنوتئیدها موجود در انسانس این گیاه می‌باشد که در کرک‌های غده‌ای¹ بر سطح قسمت‌های هوایی گیاه تجمع می‌یابند (Gang et al. 2001). تنوع عظیم ترکیبات موجود در انسانس گونه‌های مختلف جنس *Ocimum* بسته به شرایط آب و هوایی محل رشد منجر به تنوع عظیم بیوشیمیایی آنها می‌شود. بخش عظیمی از فنیل پروپانوئیدها را ایوژینول²، متیل ایوژینول، چاویکول³ و متیل چاویکول تشکیل می‌دهند که مقدار و کیفیت آنها در توده‌های ریحان و نیز در شرایط اقلیمی مختلف و مرحله نموی گیاه، متفاوت است (Ekren et al. 2006; Radácsi et al. 2010; et al. 2012). فنیل پروپانوئیدها ترکیبات فعالی هستند و نقش بسیار مهمی در حفاظت گیاه در برابر صدمات وارد شده در شرایط نامطلوب محیطی ایفا می‌کنند. متیل چاویکول یکی از مهم‌ترین ترکیبات موجود در انسانس گیاهان معطر به‌خصوص گیاه ریحان می‌باشد و به علت اثرات دفاعی بر علیه باکتری‌ها، قارچ‌ها، انواع حشرات و نمادها در مکانیسم تحمل گیاه در برابر انواع تنش‌های محیطی بسیار مورد اهمیت می‌باشد (Koduka et al. 2006). متیل

¹ Glandular trichomes² Eugenol³ Chavicol⁴ Chavicol O-methyl transferase

بررسی الگوی بیان ژن متیل چاویکول *O*-متیل ترانسفراز...

ترکیبات فنیل پروپانوئید نشان می‌دهد که اثرات تنظیمی پرموموتر ژن‌های این مسیر در تجمع محصولات نهایی بسیار موثر است (Kao et al. 2002; Osakabe et al. 2009; Zhang et al. 2014). اما تاکنون مطالعاتی درباره شناخت دومین‌های تنظیمی پرموموتر ژن *CVOMTs* و نقش آن‌ها در بیان این ژن در شرایط انواع تنش‌های محیطی انجام نشده‌است.

به عنوان مکانیسم‌های متداول در تنظیم الگوی بیان ژن بسیار با اهمیت می‌باشد. مطالعات گذشته نشان می‌دهد، تغییرات الگوی بیان زمانی و مکانی ژن‌های مرتبط با تنش بخش مهم پاسخ گیاه به تنش را شامل می‌شود که توسط شبکه پیچیده‌ای از پروتئین‌های تنظیم کننده نسخه‌برداری مانند پروتئین‌های MYB و MYC کنترل می‌شود (Wang et al. 2006; Liao et al. 2015). اگرچه مطالعات نحوه تنظیم بیان ژن‌های کلیدی در مسیر بیوستز



شکل ۱ - مسیر بیوستز متیل چاویکول

PAL: Phenyl alanine ammonia- lyase; C₄H: Cinnamate 4-hydroxylase; 4CL: 4- coumarate CoA ligase; CCR: Cinnamoyl-CoA reductase; CAD: Cinnamoyl alcohol dehydrogenase; CAAT: Coniferyl alchol acyl transferase; CVOMT: Chavicol *O*- methyl transferase

شد. ژن اکتین با شماره دسترسی AB002819 به عنوان ژن مرجع مورد استفاده قرار گرفت. واکنش‌ها با حجم ۲۰ میکرولیتر شامل هشت میکرولیتر مخلوط دارای رنگ فلورورست Eva Green (کیت شرکت Solis BioDyne)، ۱/۵ میکرولیتر cDNA رقیق شده (۶۰۰ng)، ۰/۲۵ میکرولیتر از پرایمرهای اختصاصی پیشرو و برگشته (جدول ۱) و آب دیونیزه در دستگاه Rotor-Gene 6000 ساخت شرکت Qiagen انجام شد. شرایط چرخه‌های دمایی به ترتیب شامل ۹۵ درجه سانتی‌گراد به مدت ۱۵ دقیقه برای واسرشت سازی اولیه سپس ۴۵ چرخه با ۹۶ درجه سانتی‌گراد به مدت ۱۵ ثانیه جهت واسرشت سازی، ۶۱ درجه سانتی‌گراد به مدت ۲۰ ثانیه برای اتصال و ۷۲ درجه سانتی‌گراد به مدت ۲۰ ثانیه برای تکثیر دنبال شد. برای هر ژن سه تکرار بیولوژیک و تکنیکی در نظر گرفته شد. همچنین برای هر جفت پرایمر کارایی PCR از طریق محاسبه ارزش Ct های مربوط به رقت‌های سریالی cDNAها سنجیده شد.

از برگ‌های توده مورد مطالعه (توده ۳) ریحان DNA با استفاده از روش CTAB جداسازی شد. با استفاده از ساخت کتابخانه Universal Genome Walker از *O. basilicum* با الگو گرفتن از Genome Walker Kit (Clontech, USA) کار جداسازی pROMotor انجام شد. به طور خلاصه، رقت‌های متفاوت DNA به کمک آنزیم‌های برشی EcoRV (Eco321), EcoRI و HindIII برش خورده و سپس به آداتپورهای دو رشته‌ای متصل شد. لیست توالی آغازگرها و آداتپور در جدول ۱ به نمایش گذاشته شده است. سپس از DNA متصل به آداتپور به عنوان الگو برای واکنش زنجیره‌ای پلیمراز استفاده شد. واکنش زنجیره‌ای پلیمراز در دو مرحله صورت گرفت: در مرحله اول از آغازگر آداتپور به عنوان آغازگر برگشته و آغازگرهای اختصاصی به عنوان آغازگر رفت استفاده شد. مرحله دوم شامل واکنش زنجیره‌ای پلیمرازی بود که از رقت‌های یک دهم و پنج صدم محسوب واکنش زنجیره‌ای پلیمراز در مرحله اول به عنوان الگو برای آغازگرهای اختصاصی شماره ۲ به عنوان پرایمر رفت، آداتپور پرایمر به عنوان پرایمر برگشته استفاده شد. واکنش‌ها با استفاده از دستورالعمل touch-down PCR تکثیر یافت، به طوری که بعد از یک مرحله واسرشته

در این تحقیق برای فهم بهتر مکانیسم تنظیم ملکولی ژن CVOMTs در بیوسنتر متیل چاویکول در شرایط تنش خشکی، پس از بررسی الگوی بیان ژن در شرایط تنش خشکی، جداسازی پرومومتر و سپس بیان ژن گزارشگر GUS برای تایید فعل بودن پرومومتر انجام شد و در نهایت تجزیه بیوانفورماتیکی پرومومتر برای تعیین حضور موئیف‌های تنظیمی پاسخ دهنده به تنش خشکی مورد بررسی قرار گرفت.

مواد و روش‌ها

بذور سه توده ریحان به ترتیب توده ۱ از استان فارس و توده ۲ و ۳ از استان مازندران تهیه و در گلخانه تحقیقاتی گروه زراعت و اصلاح نباتات دانشگاه تهران کشت شدند. بذور در خاک با بافت لومی شنی در دمای ۲۰-۳۰ درجه سانتی‌گراد تحت نور طبیعی کرج در اردیبهشت سال ۱۳۹۴ رشد یافتدند. برای مطالعه پاسخ ژن CVOMTs به شرایط تنش خشکی، دو هفته پس از کشت بذور، تیمارهای مختلف تنش خشکی (C: ۱۰۰٪, S₁: ۵۰٪, S₂: ۷۵٪, S₃: ۲۵٪ ظرفیت زراعی) بر روی گیاهچه‌ها اعمال شد. در ادامه، گلدان‌ها به مدت ۲۹ روز تا انتهای مرحله گلدهی در ظرفیت زراعی مورد نظر نگهداری شدند. نحوه نمونه‌برداری به صورت برداشت تمامی اندام هوایی گیاه بود. در این آزمایش برای هر مرحله سه گلدان (تکرار) استفاده شد. نمونه‌های برداشت شده تا زمان استخراج RNA در دمای -۸۰ درجه سانتی‌گراد نگهداری شدند.

RNA کل از بافت‌های تیمار یافته برگ توده‌های مورد مطالعه ریحان در سطوح مختلف تنش خشکی با استفاده از محلول Biozol (Invitrogen) و مطابق دستورالعمل پیشنهادی شرکت سازنده استخراج شد. کیفیت و کمیت RNA استخراج شده، با استفاده از ژل آگارز یک درصد و اسپکتروفوتومتر ارزیابی شد. از یک میکروگرم RNA کل با استفاده از کیت کیاژن (Thermo Scientific, EU) برای ساخت cDNA استفاده شد. در نهایت cDNA با غلظت ۴۰۰ نانوگرم در میکرولیتر در دمای ۲۰- درجه سانتی‌گراد نگهداری شد. به منظور بررسی کمی بیان ژن CVOMTs از واکنش زنجیره‌ای پلیمراز در زمان واقعی استفاده

بررسی الگوی بیان ژن متیل چاویکول O-متیل ترانسفراز...

فاکتورهای رونویسی و موتیف‌های عملکردی مختلف در توالی موردنظر استفاده شد.

برای ساخت سازه ژنی شامل *pCVOMTs* که به ژن گزارشگر متصل شده است، ناقل pTG19 حاوی *pCVOMTs* و ناقل دوگانه pBI121 با دو آنزیم برشی *BamHI* و *HindIII* برش داده شد. سپس *pCVOMTs* به داخل ناقل pBI121 در محل پروموتور CaMV 35S الحاق شد. بنابراین قطعه پروموتور مورد نظر در ناحیه GUS برای مطالعه عملکرد پروموتور مورد بالا دست ژن گزارشگر قرار گرفت.

پس از تایید سازه نهایی pBI121، انتقال آن به *Agrobacterium tumefaciens* سویه C58 طبق دستورالعمل ترانسفورماسیون این بیاکت، (Wang 2006) انجام شد.

به اگروباکتریوم اجازه داده شد تا به مدت ۱۸-۲۴ ساعت در محیط کشت مورد نظر حاوی آنتیبیوتیک‌های کانامایسین با غلاظت $100 \mu\text{g/mL}$ و ریفامپسین $50 \mu\text{g/mL}$ رشد کند تا OD در طول موج 600 nM به $0/7$ تا 1 برسد. سپس بافت برگی توتوون با استفاده از روش اگرواینفیلتریشن در شرایط خلاء ترازیخت شد (Wang 2006) و فعالیت ژن گاس در نمونه‌ها مورد مطالعه قرار گرفت (Jefferson et al. 1987).

سازی در دمای ۹۴ درجه سانتی گراد به مدت ۴ دقیقه، با ۵ چرخه با ۹۴ درجه سانتی گراد به مدت ۴۵ ثانیه، ۶۳ درجه سانتی گراد به مدت ۴۵ ثانیه و ۷۲ درجه سانتی گراد به مدت ۴۵ ثانیه و ۲۶ چرخه با ۹۴ درجه سانتی گراد به مدت ۴۵ ثانیه، ۶۱ درجه سانتی-گراد به مدت ۴۵ ثانیه و ۷۲ درجه سانتی گراد به مدت ۴۵ ثانیه دنبال شد. سپس محصول تکثیر یافته از ژل به روش glass-milk خالص‌سازی و در ناقل pTG19-T (شرکت ویوانتیس - کره جنوبی) همسانه‌سازی و برای توالی‌یابی ارسال شد (شرکت بیونیر - کره جنوبی). با استفاده از نرم‌افزار BioEdit و EditSeq نواحی ناخوانا و همپوشان اصلاح و توالی نهایی به دست آمد. در ادامه هم‌ردیفی قطعه توالی‌یابی شده در برنامه آنلاین BLAST انجام و صحت قطعه به دست آمده تایید شد. سپس از نرم‌افزارهای TSSP و BDGP برای یافتن نقطه آغاز رونویسی^۱ و از برنامه‌های PLACE^۲ و PLANTPAN^۳ برخط

جدول ۱- آغازگرها و آدیتورهای طراحی شده به منظور تعزیه بیان زن CVOMTs و تکثیر توالی پرموخته:

نام زن/آدپتور	شماره دسترسی	تولی	طول قطعه (جفت باز)
CVOMTs- F	AB530137	5'-ACGCCACCCAGTTGAGG-3' 5'-CCATTACCACCCCCAACATC-3'	۱۸۰
CVOMTs- R	AB002819	5'- TCTATAACGAGCTTCGTGTTG-3' 5'- GAGGTGCTTCAGTTAGGAGGAC-3' 5'-CTATAGTGAUTGCTGGTCAGGGCCCCGGCTGGT-3'	۱۸۰
Actin- F		5'-ACCAGCCC-3'	
Actin- R		5'-AATTACCAGCCC-3'	
Adapt-1		5'-TCGAACCAGCCC-3'	
Adapt-EcoV		5'-TCGAACCAGCCC-3'	
Adapt-EcoR		5'-TCGAACCAGCCC-3'	
Adapt-Hind		5'-TCGAACCAGCCC-3'	
pCVOMT- 1	AB530137	5'-TATCGGGTATGCCTAATTGAATTGCACAT-3' 5'-GAAAGTTGCTCAGTCGACAATGAAATATCCAT-3'	۶۱۶
2 -pCVOMT			

F: آغازگر رفت، R: آغازگر برگشتی، Adapt: آداتپور

۲ افزایش قابل ملاحظه‌ای دارد (شکل ۲). به علاوه افزایش قابل توجهی در میزان بیان این ژن در سطح تنش ۵۰ درصد ظرفیت زراعی (S_2) در توده ۳ مشاهده شد. این روند افزایشی تا سطح S_2 دوام داشت و پس از آن تغییر تجمع رونوشت این ژن به طور معنی‌داری با افزایش سطح تنش مشاهده شد به طوری که کاهش بیان این ژن در سطح ۲۵ درصد ظرفیت زراعی در توده ۳ به خوبی مشهود بود. افزایش سطح رونوشت‌های ژن $CVOMTs$ (۱۷) برابر نسبت به گروه کنترل) در سطح S_2 نشان داد که این سطح می‌تواند برای سنتز متیل چاویکول تحت شرایط تنش خشکی مناسب باشد و بیانگر تنظیم فعالیت این ژن در پاسخ به تنش خشکی است. این نتایج با مطالعات پیشین در خصوص افزایش تجمع انواع ترکیبات فنلی، مونوتربن‌ها، آلکالوئیدها و نیز سایر ترکیبات با فعالیت ژن‌های کلیدی مسیر بیوستز آن‌ها در سطوح تنش شدید مطابقت دارد (Grausgruber Groger et al. 2015; Alavi-al. 2010; Yadav et al. 2013; Rastogi et al., 2014; Alavi-Nowak et al. 2010; Samani).

نتایج تجزیه بیان ژن بیانگر این است که میزان بیان ژن $CVOMTs$ در توده سه نسبت به دو توده دیگر در سطح انتهایی تنش بیشتر قابل توجه بود. به لحاظ تکاملی، احتمالاً نیاز توده ۳ به متیل چاویکول نسبت به توده‌های دیگر بیشتر می‌باشد. به علاوه به نظر می‌رسد که هر توده‌ای سیستم دفاعی متفاوتی برای تحمل یا دفاع علیه شرایط متفاوت محیطی در پیش می‌گیرد. با توجه به نقش آنتی اکسیدانی ترکیبات فرار فنیل پروپانوئید، به نظر می‌رسد که توده سه به تنش خشکی متحمل‌تر باشد، بنابراین سلول‌های موجود در هر توده با توجه به شرایط محیطی، در جهت افزایش بیان ژن مورد نظر سازماندهی ژنومی و بیوشیمیایی خود را برای سازگاری با محیط تغییر می‌دهند. هر ژنی برای بیان در شرایط مختلف گیرنده‌های تنظیمی و بیولوژیکی متفاوتی دارد تا کمپلکس‌های پروتئینی بتوانند پاسخ‌های دفاعی گیاه را به خاطر حضور این گیرنده‌ها تحریک کنند (Jones et al. 2004; Wang et al. 2013). یکی از راهکارها برای بررسی چگونگی تنظیم بیان این ترکیب در شرایط تنش محیطی در توده‌های مختلف، تجزیه و تحلیل پروموتر ژن موردنظر است. با توجه به عدم شناخت از توالی راهانداز این ژن، جداسازی و تجزیه این راهانداز ضروری

در ادامه، برگ‌های اینفیلتره شده در محلول رنگ‌آمیزی ایکس گلوك (ساخت شرکت فرمانتاز) شناور شد و به مدت یک دقیقه تحت خلاء ۲۵۰ میلی‌بار قرار گرفت و در نهایت نمونه‌های برگی بین سه ساعت تا یک شباهه روز در دمای ۳۷ درجه قرار گرفتند. پس از آن برگ‌ها در اتانول ۷۵ درصد قرار داده شد و تا زمان حذف کامل کلروفیل، اتانول آن مدام تعویض شد. در انتها عکس- برداری از نمونه‌ها پس از حذف کامل کلروفیل انجام گرفت.

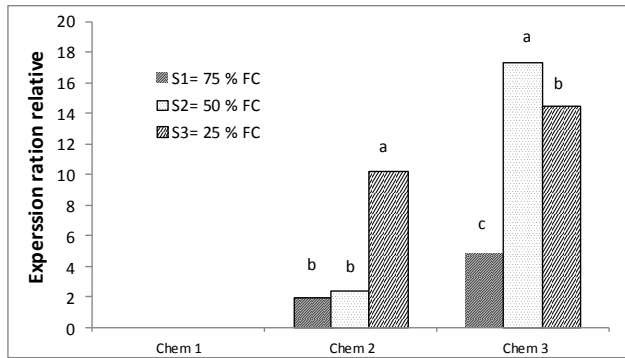
نتایج و بحث

بیوستز، متابولیسم و تجمع متابولیت‌های ثانویه تحت تاثیر گونه، شرایط رشد، بافت گیاه و نیز مراحل توسعه‌ای و نموی می‌باشد (Angelova et al. 2006; Akula and Gokare 2011). در بین ترکیبات فعال موجود در سیستم دفاعی گیاهان، فنیل پروپانوئیدهای فرار نقش مهمی در حفاظت سلول‌های گیاهی در برابر تنش خشکی و گرما ایفا می‌کنند (Dixon et al. 2002; Loreto et al. 2014). عموماً مکانیسم تنظیم‌کننده بر سرعت تولید و تجمع ترکیبات مهم فرار موجود در انسان گیاهان معطر و دارویی در شرایط مختلف نامطلوب محیطی مرتبط با کنترل فعالیت‌های نسخه‌برداری و آنزیمی ژن‌ها و آنزیمهای درگیر در مسیرهای متابولیک می‌باشد که معمولاً در سطوح مختلف نسخه- برداری ژن، فرایندهایی از جمله تغییرات پس از نسخه‌برداری، Liu et al. 2011 ترجمه و تغییرات پس از ترجمه کنترل می‌شود (Xie et al. 2008; فرار (شکل ۱) تحت شرایط تنش خشکی نسبت به مسیرهای بیوستز ترپنوهای (مسیر موالونات و غیر موالونات) بسیار محدود می‌باشد و کمتر مورد توجه عمیق واقع شده‌اند. برای به دست آوردن دید جامعی بر تنظیم تولید فنیل پروپانوئید فرار مهم موجود در گیاه ریحان در شرایط تنش خشکی، بیان ژن $CVOMTs$ در سطوح مختلف تنش با استفاده از PCR در زمان واقعی مورد بررسی قرار گرفت.

الگوی بیان نسبی ژن $CVOMTs$ تحت شرایط تنش خشکی نشان داد که بیان این ژن در سطح اول تنش ۷۵ درصد ظرفیت زراعی) به تدریج افزایش یافته و سپس در شرایط تنش شدید (S_3) در توده

بررسی الگوی بیان ژن متیل چاویکول O-متیل ترافسفراز...

حضور عناصر تنظیمی Cis-element ها و موتیف‌های تنظیمی نشان داد که Pc-CMA2c و chs-CMA2b از جمله عناصر تنظیمی شناسایی شده در پرموتر ژن *CVOMTs* می‌باشند که از عناصر تنظیمی پاسخ‌دهنده به نور هستند.



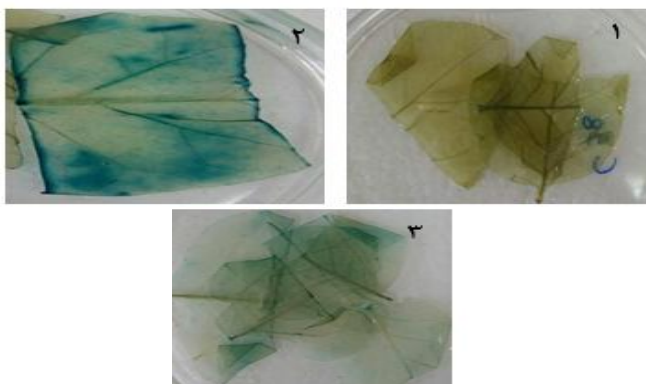
شکل ۲-۲- بیان ژن *CVOMTs* در سه توده ریحان تحت تنش خشکی. بیان ژن خانه‌دار *Actin* به عنوان کنترل داخلی در نظر گرفته شد. داده‌ها به صورت میانگین \pm انحراف معیار برای سه تکرار بیان شده‌است. *Chem 1*: توده ۱، *Chem 2*: توده ۲ و *Chem 3*: توده ۳. $S_1 = 75$ درصد ظرفیت زراعی، $S_2 = 50$ درصد ظرفیت زراعی و $S_3 = 25$ درصد ظرفیت زراعی. حروف مختلف a, b, c, d بیان‌گر تفاوت معنی‌دار در هر توده در سطح پنج درصد

به نظر می‌رسد و به علاوه امکان مطالعه گسترده‌تر تنظیم بیان ژن در شرایط تنش خشکی فراهم می‌شود. بنابراین توده سه با میزان بیان بیشتر این ژن در شرایط تنش خشکی، برای ادامه مطالعه که شامل جداسازی و شناسایی پرموتر ژن بیوستر کننده متیل چاویکول می‌باشد برای فهم بهتر عناصر تنظیمی موجود در پرموتر این ژن با میزان بیان متفاوت آن در پاسخ به تنش خشکی انتخاب شد. پس از تکثیر توالی بالادست ژن *CVOMTs* شامل توالی 5'UTR و پرموتر (*pCVOMTs*) با طول ۶۱۶ جفت‌باز (شکل ۳)، تایید و ثبت آن به عنوان تنها توالی موجود در پایگاه اطلاعاتی NCBI برای پرموتر این ژن با شماره دسترسی KT310085 ثبت شد. تعیین جایگاه شروع رونویسی برای هر سه ژن در هر سه توده با استفاده از نرم‌افزارهای BDGP, TSSP انجام شد. نتایج نشان داد که جایگاه شروع رونویسی پیش‌بینی شده برای ژن *CVOMTs* ۵۷ جفت‌باز بالاتر از کدون شروع ترجمه (ATG) قرار گرفته است. توالی پرموتر برای حضور عناصر Cis-element مورد بررسی قرار گرفت و نتایج در جدول ۲ ارائه شده‌است. نتایج نشان داد که پرموتر *pCVOMTs* حاوی ضروری شامل عناصر Cis-element جعبه TATA و CAAT می‌باشد. نتایج بررسی‌ها برای شناسایی

جدول ۲- نوع، تعداد و نقش عناصر تنظیمی پیش‌بینی شده در پرموتر ژن *pCVOMTs* در توده سه ریحان.

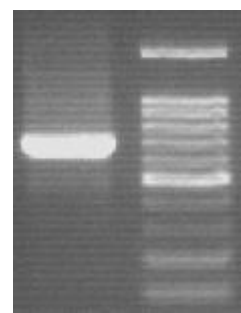
نام عناصر	تعداد	توضیح
ARE	۱	TGGTTT (-۳۵۳ تا -۳۴۸)
Box-w1	۱	TTGACC (-۲۸۵ تا -۲۸۰)
CAT-Box	۱	GCCACT (-۵۰۸ تا -۵۰۳)
CGTCA-motif	۴	CGTCA (۳۹۹ تا ۳۹۵)، (۳۷۳ تا ۳۷۰)، (۲۲۲ تا ۲۲۰) و (۱۶۳ تا ۱۶۰)
HSE	۱	CNNGAANNTTCNNG (۵۰۹ تا ۵۱۲)
MBS	۲	CGGTCA و CAACTG (-۱۳۲ تا -۱۲۶)، (-۱۵۳ تا -۱۴۸)
Pc-CMA2c	۱	GCCCCACGCA (-۶۳۳ تا -۵۸۶)
BOXATGAP3	۱	CANNTG (-۲۸۰ تا -۲۸۵)
chs-CMA2b	۱	ATTGCAACTCAA (-۵۹ تا -۷۰)

مشاهده تعداد عناصر تنظیمی در پرموتور ژن *CVOMTs* می‌توان این طور نتیجه‌گیری نمود که حجم وسیعی از این عناصر اختصاص به عناصر تنظیمی پاسخ‌دهنده به نور، تنش خشکی، جایگاه فاکتورهای رونویسی *MYB* و سایر فاکتورهای مرتبط دارد. بنابراین انتظار می‌رود یکی از دلایل احتمالی حضور این ترکیب و افزایش قابل توجه این ژن در توده ۳ در تنش خشکی مربوط به وجود عناصر تنظیمی پاسخ‌دهنده به نور، خشکی و گرما باشد. بنابراین در شرایط تنش خشکی افزایش بیان این ژن در این توده نیز قابل انتظار خواهد بود.



شکل ۴- آزمون هیستوشیمیایی ژن گزارشگر β - گلوکورونیداز (*GUS*) در توتون ترانسژنیک. ۱- کترل منفی: اگر و باکتریوم بدون پلاسمید نوترکیب، ۲- نتیجه بیان موقت ژن گزارشگر *GUS* تحت هدایت راهانداز *CaMV* (۳۵S)، ۳- نتیجه بیان موقت ژن گزارشگر *GUS* تحت هدایت راهانداز *pCVOMTs-GUS*. (*pCVOMTs-GUS*)

بیان ژن *GUS* با دو سازه بیانی شامل *pCVOMTs-GUS* و *pCaMV 35S-GUS* مشاهده شد (شکل ۴). تجزیه عناصر موجود در پرموتور *pCVOMTs* نشان می‌دهد که با حضور عناصر پایه، این پرموتور قادر به هدایت و بیان ژن *GUS* می‌باشد. نتایج بیان *pCVOMTs* هیستوشیمیایی ژن *GUS* فعالیت و عملکرد پرموتور را تایید می‌نماید. برای تایید نقش موตیف‌های تنظیمی مرتبط با تنش خشکی و شناخت نقش آنها در فعالیت ژن چاویکول O-متیل ترانسفراز بررسی حضور این عناصر تنظیمی در هدایت ژن گزارشگر *GUS* تحت شرایط تنش خشکی مورد نیاز می‌باشد.



شکل ۳- الکتروفورز محصول حاصل از واکنش *PCR* با استفاده از آغازگرهای اختصاصی برای جداسازی پرموتور ژن *CVOMTs* (چاهک ۱). M: سایز مارکر ۱۰۰ جفت‌باز فرمتاز

عناصر تنظیمی ARE با توالی TGGTTT یکی دیگر از عناصر موثر در بیان ژن‌ها در شرایط بی‌هوایی و یا عدم حضور اکسیژن است که در پرموتور ژن *CVOMTs* حضور دارد. عناصر تنظیمی پاسخ‌دهنده به ایسیتورهای زیستی از جمله قارچ‌ها و متیل جاسمونات نیز در این پرموتر مشاهده شد.

مطالعات صورت گرفته در گیاه ریحان تحت سطوح متفاوت تنش‌های غیرزیستی نشان داده است که میزان ترکیبات فرار از جمله متیل چاویکول تحت تنش‌های غیرزیستی افزایش می‌یابد (Simon 1992; Omidbaigi et al. 2003; Khalid 2006; Radcásí et al. 2010; Eken et al. 2012). به دنبال مطالعات صورت گرفته، مطالعه حاضر نیز افزایش بیان ژن کلیدی مسیر بیوسیترز متیل چاویکول در سطح mRNA در شرایط تنش خشکی را نشان داد. برای تعیین ارتباط بین مطالعه بیان ژن و عناصر تنظیمی موثر در شرایط تنش خشکی تجزیه پرموتر این ژن نشان داد که جایگاه اتصال فاکتورهای نسخه‌برداری مرتبط با تنش خشکی و گرما (HSE و MYB) در پرموتور این ژن وجود دارد. در تنش خشکی بیان مؤثر فاکتورهای رونویسی مرتبط از جمله MYB Skibbe et al. 2008; Wu et al. 2009) و HSE افزایش می‌یابد (HSE و MYC و HSE افزایش می‌یابد (2009) و سپس با افزایش بیان آنها و اتصال به جایگاه تنظیمی خود بر روی ژن مذکور، میزان فرآورده نهایی متیل چاویکول تحت تاثیر قرار می‌گیرد. با توجه به تغییر فعالیت پرموتر این ژن تحت عوامل متفاوت می‌توان چنین گفت که بیان این ژن دچار نوسانات زیادی است که معمولاً این نوع ژن‌ها به خاطر اثر متقابل با عوامل مختلف دارای پرموتر پیچیده‌ای هستند. به علاوه با

منابع

- Alavi-Samani SM, Ataei Kachouei M, Ghasemi Pirbalouti A (2015) Growth, yield, chemical composition, and antioxidant activity of essential oils from two thyme species under foliar application of jasmonic acid and water deficit conditions. Horticulture, Environment and Biotechnology 56:411-420.
- Akula R and Gokare A (2011) Influence of abiotic stress signals on secondary metabolites in plants. Plant Signaling and Behavior 6: 1720-1731.
- Angelova Z, Georgiev S, Roos W (2006) Elicitation of plants. Biotechnology Equipment 20: 72-83.
- Dixon RA and Paiva N (1995) Stress-Induced phenylpropanoid metabolism. American Society of Plant Physiologist 7: 1085-1097.
- Dixon RA, Achenine L, Kota P, Liu C, Reedy MSS, Wang L (2002) The phenylpropanoid pathway and plant defence-a genomics perspective. Molecular Plant Pathology 3: 371-390.
- Ekren C, Emrah Ozakal YSK, Emine Bayram HG (2012) The effect of different irrigation water levels on yield and quality characteristics of purple basil (*Ocimum basilicum* L.). Journal of Food Agriculture and Environment 109: 155-161.
- Gang D, Wang J, Dudareva N, Nam K, Simon JE, Lewinsohn E, Pichersky E (2001) An Investigation of the Storage and Biosynthesis of Phenylpropenes in Sweet Basil. Plant Physiology 125: 539-555.
- Gill S, Tuteja N (2010) Reactive oxygen species and antioxidant machinery in abiotic stress tolerance in crop plants. Plant Physiology and Biochemistry 48:909-930
- Grausgruber-Groger S, Schmiderer C, Steinborn R, and Novak, J., 2010. Seasonal influence on gene expression of monoterpene synthases in *Salvia officinalis* (Lamiaceae). *Journal of Plant Physiology*, 169: 353- 359.
- Hartmann U, Sagasser M, Mehrtens F, Stracke R, Weisshaar B (2005) Differential combinatorial interactions of cis-acting elements recognized by R2R3-MYB, BZIP, and BHLH factors control Light-responsive and tissue-specific activation of phenylpropanoid biosynthesis genes. Plant Molecular Biology 57: 155-171.
- Javanmardi J, Khalighi A, Khashi A, Bais HP, Vivanco JM (2002) Chemical characterization of Basil (*Ocimum basilicum* L.) found in local accessions and used in traditional medicine in Iran. Journal of Agriculre and Food Chememstry 50: 5878 -588.
- Jefferson RA, Kavanagh TA, Bevan MW (1987) GUS fusions: b-glucuronidase as a sensitive and versatile gene fusion marker in higher plants. EMBO J 6:3901-3907.
- Jones J, Tonelli C, Weisshaar B, Martin C (2000) Transcriptional repression by AtMYB4 controls production of UV-protecting sunscreens in Arabidopsis. EMBO Journal 19: 6150-6161.
- Juliani HR and Simon JE (2002) *Antioxidant activity of basil*. In: Janic J and Whipkey A (Ed.), Trends in New Crops and New Uses. ASHS Press, Alexandria, 168-195.
- Khalid KhA (2006) Influence of water stress on growth, essential oil, and chemical composition of herbs *Ocimum* sp.). Int Agrophy 20:289-296.
- Kao YY, Harding SA, Tsai CJ (2002) Differential expression of two distinct phenylalanine ammonia-lyase genes in condensed tannin-accumulating and lignifying cells of quaking aspen. Plant physiology. 130: 796-807.
- Koduka T, Fridman E, Gang D, Vassao DJ, Jackson B, Orlova I, Spassova M, Pichersky E (2006) Eugenol and isoeugenol, characteristic aromatic constituents of spices, are biosynthesized via reduction of a coniferyl alcohol ester. Proceedings of the National Academy of Sciences of the United States of America 26: 10128-10133.
- Kothari SK; Bhattacharya AK; Ramesh S (2004) Essential oil yield and quality of methyl eugenol rich *Ocimum tenuiflorum* L.f. (syn. *O. sanctum* L.) grown in south India as influenced by method harvest. Journal of Chromatography A 1054:67-72.
- Lee SJ, Umano K, Shibamoto T, Lee KG (2005) Identification of volatile components in basil (*Ocimum basilicum* L.) and thyme leaves (*Thymus vulgaris* L.) and their antioxidant properties. Food Chemistry 91:131-137.
- Liao Y, Shen Y, Cheng J, Zhang W, Cheng Sh, Xu F (2015) Isolation, expression and promoter analysis of GbWRKY2: a novel transcription factor gene from *Ginkgo biloba*. International Journal of Genomics. dx.doi.org/10.1155/2015/607185.
- Loreto F, Pollastri S, Fineschi S, Velikova V (2014) Volatile isoprenoids and their importance for protection against environmental constraints in the Mediterranean area. Environmental Experimental Botany 103:99–106.
- Liu H, Wang X, Wang D, Zou Z, Lianga Z (2011) Effect of drought stress on growth and accumulation of active constituents in *Salvia miltiorrhiza* Bunge. Industrial Crops and Products 33:84-88.
- Nowak M, Manderscheid R, Weigel HJ, Kleinwachter M, Selmar D (2010) Drought stress increases the accumulation of monoterpenes in sage (*Salvia officinalis*), an effect that is compensated by elevated carbon dioxide concentration. Journal of Applied Botany and Food Quality 83:133-136.
- Omidbaigi R, Hassani A, Sefidkon F (2003) Essential oil content and composition of sweet basil (*Ocimum basilicum* L.) at different irrigation regimes. Journal of Essential Oil-Bearing Plants 6:104-108.
- Osakabe Y, Osakabe K, Chiang VL (2009) Characterization of the tissue-specific expression of phenylalanine ammonia-lyase gene promoter from loblolly pine (*Pinus taeda*) in *Nicotiana tabacum*. Plant Cell Reports. 28:1309-1317.
- Radács P, Inotai K, Sárosi Sz, Czövek P, Bernáth J, Németh É (2010) Effect of water supply on the physiological characteristic and production of Basil (*Ocimum basilicum* L.). European Journal of Horticulture Science 75:193-197.
- Rastogi Sh, Kumar R, Chanotiya CS, Shanker K, Gupta MM, Nagegowda DA, Shasany AK (2013) 4-Coumarate: CoA Ligase Partitions Metabolites for Eugenol Biosynthesis. Plant Cell Physiology 54: 1238-1252.

- Rejeb I, Pastor V, Mauch-Mani B (2014) Plant Responses to Simultaneous Biotic and Abiotic Stress: Molecular Mechanisms. *Plants* 3: 458-475.
- Sairam RK, Rao KV, Srivastava G (2002) Differential response of wheat genotypes to long term salinity stress in relation to oxidative stress, antioxidant activity and osmolytes concentrations. *Plant Science* 163: 1037-1046.
- Sambrook J, Russell DW (2001) Molecular Cloning: A laboratory manual, 3rd ed, Cold Spring Harbor Laboratory Press, New York.
- Simon JE, Reiss-bubenheim D, Joly RJ, Charles DJ (1992) Water stress-induced alterations in essential oil content and composition of sweet basil. *Journal of Essential Oil Research* 4:71-75.
- Skibbe M, Qu N, Galis I, Baldwin IT (2008) Induced plant defenses in the natural environment: *Nicotiana attenuata* WRKY3 and WRKY6 coordinate responses to herbivory. *Plant Cell* 20: 1984-2000.
- Telci I, Bayram E, Yilmaz G, Avci B (2006) Variability in essential oil composition of Turkish basil (*Ocimum basilicum* L.). *Biochemical Systematics and Ecology* 34:489-497
- Wang K (2006) Agrobacterium protocols. Humana press, New York, USA
- Wang L, Li L, Xu L, Zhou J, Zhuang H, Gong X, Wang I, Samuel S Qiang Zhuge, S (2013) Isolation and Functional Analysis of the Poplar *RbcS* Gene Promoter. *Plant Molecular Biology Reporter* 31:120-127.
- Wu XL, Shiroto Y, Kishitani S, Ito Y, Toriyama K (2009) Enhanced heat and drought tolerance in transgenic rice seedlings overexpressing *OsWRKY11* under the control of *HSP101* promoter. *Plant Cell Reports* 28: 21-30.
- Zabala G, Zou J, Tuteja J, Gonzalez D, Clough S, Vodkin L (2006) Transcriptome changes in the phenylpropanoid pathway of *Glycine max* in response to *Pseudomonas syringae* infection. *BMC Plant Biology* 6: 26- 29.
- Zhang WW, Li JB, Xu F, Tang Y, Cheng SY, Cao FL. 2014. Isolation and characterization of a phenylalanine ammonia-lyase gene (PAL) promoter from *Ginkgo biloba* and its regulation of gene expression in transgenic tobacco plants. *Plant Omics Journal* 7:353-360.
- Xie Zh, Kapteyn J, Gang D (2008) A systems biology investigation of the MEP/terpenoid and shikimate/phenylpropanoid pathways points to multiple levels of metabolic control in sweet basil glandular trichomes. *The plant Journal* 54: 349-361.
- Yadav R, Sangwan R, Sabir F, Srivastava A (2013) Effect of prolonged water stress on specialized secondary metabolites, peltate glandular trichomes, and pathway gene expression in *Artemisia annua* L. *Plant Physiology and Biochemistry* 74: 70-83.